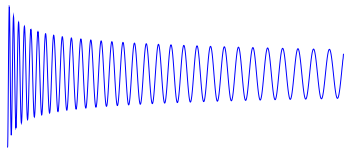
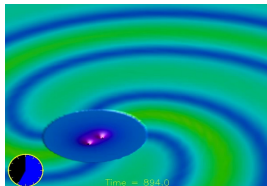


Schwarze Löcher und Gravitationalswellen: Herausforderungen und Erfolge numerischer Simulationen

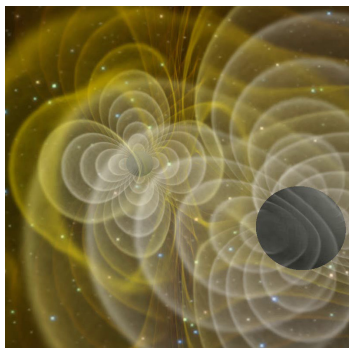
Harald Pfeiffer

California Institute of Technology



Physikalisches Kolloquium, Universität Bayreuth, 8. Mai 2007

Übersicht



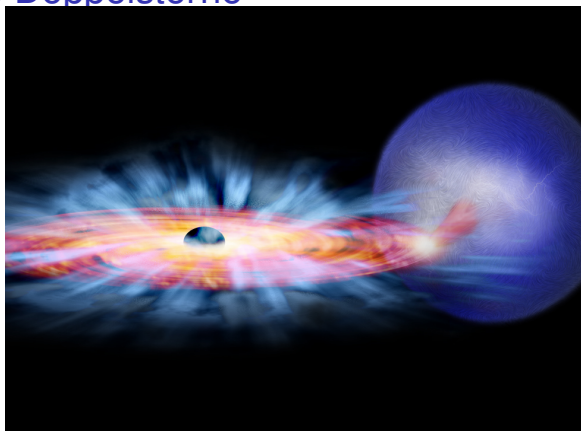
- $L_{\max} = 10^{23} L_{\odot} \sim L_{\text{Universum}}$

- Entfernung 10^{10} Lichtjahre:

$$\Phi_{\max} = 10^4 \Phi_{\text{Mond}}$$

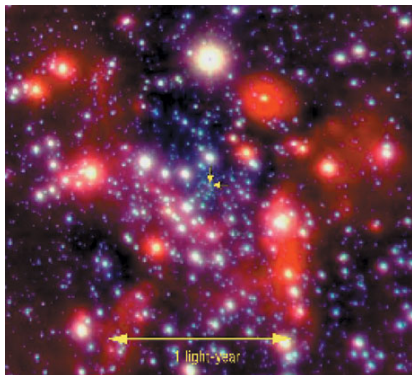
- 1 Schwarze Löcher
- 2 Gravitationswellen
- 3 Numerische Simulationen

Kompakte Doppelsterne

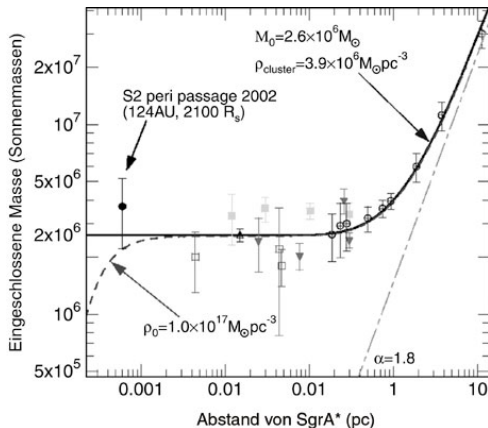


- Massenfluß auf unsichtbaren Partner \Rightarrow Röntgenstrahlen
- Oder nur ein Stern sichtbar
- $M_{\text{unsichtbar}} = 5 - 30 M_{\odot}$
- Umlaufbahn des sichtbaren Sterns zu eng für "normalen" Stern, $M_{\text{unsichtbar}}$ zu hoch für Neutronenstern. Schwarzes Loch?

Milchstraßen Zentrum



Genzel et al., Nature 2003



- $3 \times 10^6 M_\odot$ in Volumen vergleichbar unserem Sonnensystem – Schwarzes Loch?
- Supermassive Schwarze Löcher in Zentren von Galaxien die Regel
- Masse $10^5 \dots 10^9 M_\odot$

Was ist ein Schwarzes Loch?



Pierre Laplace (1749-1827)

- Ein Stern, dessen Fluchtgeschwindigkeit größer als die Lichtgeschwindigkeit ist.

“Licht fällt auf Stern zurück” \Rightarrow Dunkel

Was ist ein Schwarzes Loch?



Albert Einstein (1879-1955)

- Ein Stern, dessen Fluchtgeschwindigkeit größer als die Lichtgeschwindigkeit ist.

“Licht fällt auf Stern zurück” \Rightarrow Dunkel

- Allgemeine Relativitätstheorie:

Was ist ein Schwarzes Loch?



Albert Einstein (1879-1955)

- Ein Stern, dessen Fluchtgeschwindigkeit größer als die Lichtgeschwindigkeit ist.

“Licht fällt auf Stern zurück” \Rightarrow Dunkel

- **Allgemeine Relativitätstheorie:**
Ein solcher Stern stürzt innerhalb von Millisekunden zu einer punktförmigen Singularität zusammen.

Was ist ein Schwarzes Loch?



Albert Einstein (1879-1955)

- Ein Stern, dessen Fluchtgeschwindigkeit größer als die Lichtgeschwindigkeit ist.
“Licht fällt auf Stern zurück” \Rightarrow **Dunkel**
- **Allgemeine Relativitätstheorie:**
Ein solcher Stern stürzt innerhalb von Millisekunden zu einer punktförmigen Singularität zusammen.
- Es bleibt: Eine **Vakuum**-Lösung der Allgemeinen Relativitätstheorie mit Singularität und **Ereignishorizont**.

Allgemeine Relativitätstheorie (ART)

- Newton'sche Gravitationsgesetze: **Euklidischer Raum** (flach)

$$\Delta\Phi = 4\pi G\rho, \quad \vec{a} = -\vec{\nabla}\Phi$$

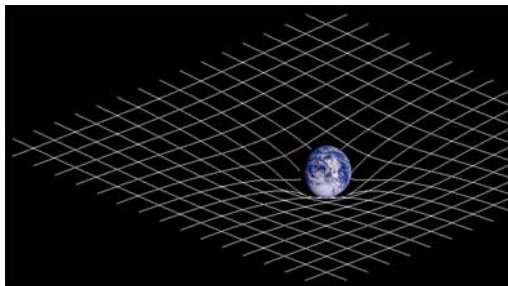
Allgemeine Relativitätstheorie (ART)

- Newton'sche Gravitationsgesetze: **Euklidischer Raum** (flach)

$$\Delta\Phi = 4\pi G\rho, \quad \vec{a} = -\vec{\nabla}\Phi$$

- **ART:**

- ▶ Raum ist **gekrümmt**
(z.B. $A \neq 4\pi r^2$).



Allgemeine Relativitätstheorie (ART)

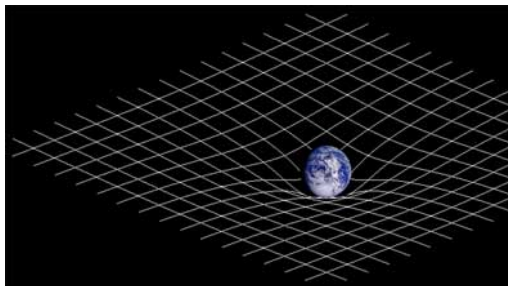
- Newton'sche Gravitationsgesetze: **Euklidischer Raum** (flach)

$$\Delta\Phi = 4\pi G\rho, \quad \vec{a} = -\vec{\nabla}\Phi$$

- **ART:**

- ▶ Raum ist **gekrümmt**
(z.B. $A \neq 4\pi r^2$).
- ▶ Krümmung $g_{ab}(\vec{x}, t)$ gehorcht
den Feldgleichungen

$$G_{ab}[g_{ab}] = 8\pi GT_{ab}.$$



Allgemeine Relativitätstheorie (ART)

- Newton'sche Gravitationsgesetze: **Euklidischer Raum** (flach)

$$\Delta\Phi = 4\pi G\rho, \quad \vec{a} = -\vec{\nabla}\Phi$$

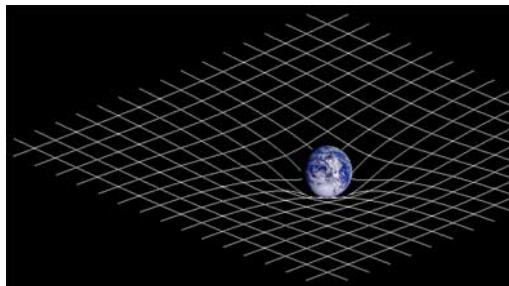
- **ART:**

- ▶ Raum ist **gekrümmt**
(z.B. $A \neq 4\pi r^2$).
- ▶ Krümmung $g_{ab}(\vec{x}, t)$ gehorcht den Feldgleichungen

$$G_{ab}[g_{ab}] = 8\pi GT_{ab}.$$

- ▶ Körper bewegen sich "möglichst gerade" durch gekrümmten Raum:

$$\vec{a} = 0.$$



Allgemeine Relativitätstheorie (ART)

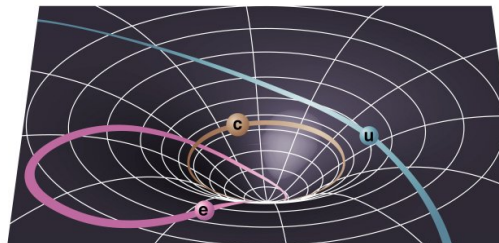
- Newton'sche Gravitationsgesetze: **Euklidischer Raum** (flach)

$$\Delta\Phi = 4\pi G\rho, \quad \vec{a} = -\vec{\nabla}\Phi$$

- **ART:**

- ▶ Raum ist **gekrümmt**
(z.B. $A \neq 4\pi r^2$).
- ▶ Krümmung $g_{ab}(\vec{x}, t)$ gehorcht den Feldgleichungen

$$G_{ab}[g_{ab}] = 8\pi GT_{ab}.$$

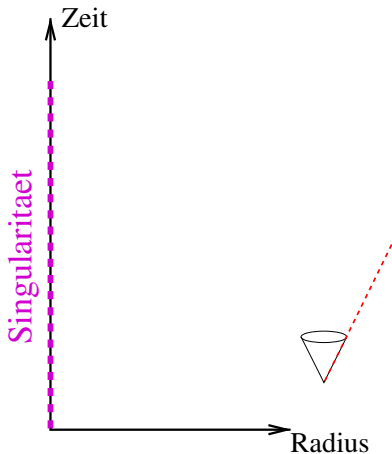


Copyright © Addison Wesley

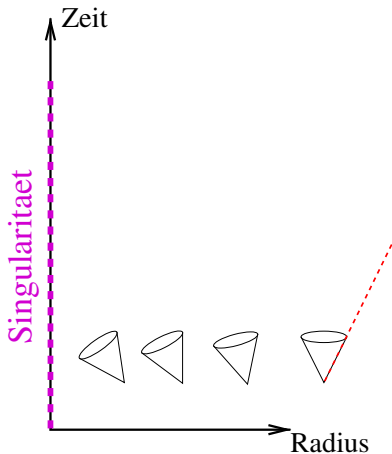
- ▶ Körper bewegen sich "möglichst gerade" durch gekrümmten Raum:

$$\vec{a} = 0.$$

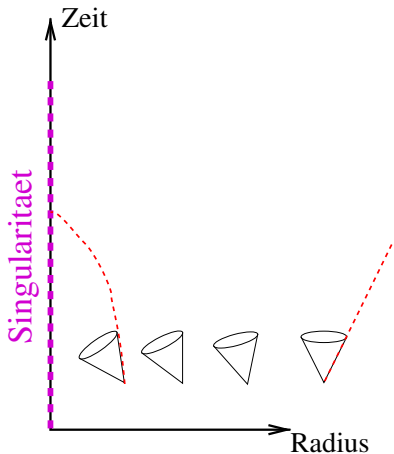
Ereignishorizont und Singularität



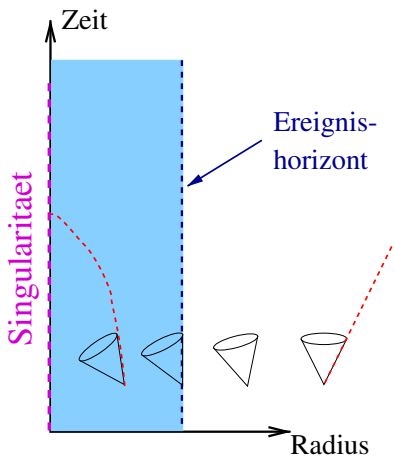
Ereignishorizont und Singularität



Ereignishorizont und Singularität



Ereignishorizont und Singularität



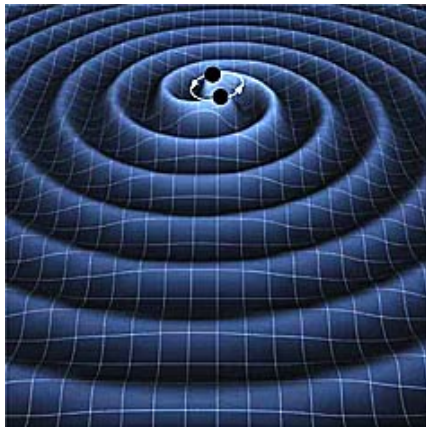
Sind Schwarze Löcher bewiesen?

- Beobachtungen: Viel Masse in kleinem Volumen
 - ▶ Angenommen ART ist richtig \Rightarrow Schwarzes Loch

Sind Schwarze Löcher bewiesen?

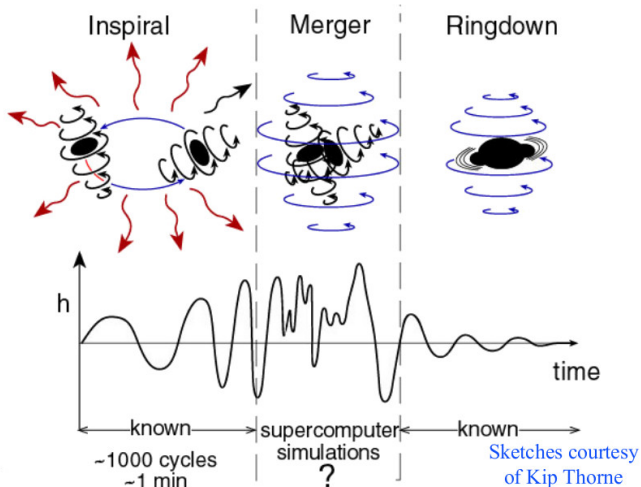
- Beobachtungen: Viel Masse in kleinem Volumen
 - ▶ Angenommen ART ist richtig \Rightarrow Schwarzes Loch
- Ist ART bewiesen?
 - ▶ Sonnensystem-Tests bestätigen ART
 - Periheldrehung des Merkur
 - Lichtablenkung an Sonne
 - Schwerkraftbedingte Rotverschiebung
 - Global Positioning System (GPS)
 - ▶ Aber Raumzeit im Sonnensystem fast flach $GM/(c^2 r) \sim 10^{-6}$
 - ▶ Keine Tests in stark gekrümmter Raumzeit $GM/(c^2 r) \sim 1$

Gravitationswellen

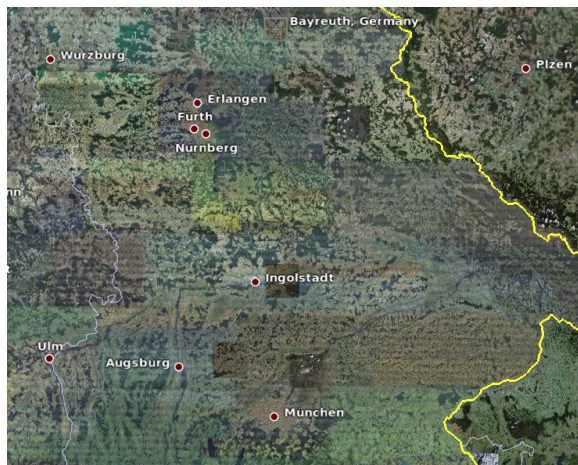


- Feldgleichungen erlauben **Wellenlösungen** (vgl. Maxwell Gleichungen).
- Erzeugt durch zeitveränderliche Quadrupol-Momente, z.B. Binäre Schwarze Löcher
- Energieabstrahlung verkleinert Abstand.

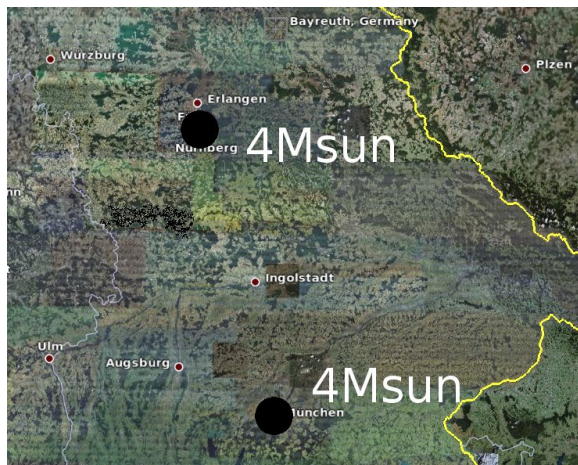
Das Leben eines Binären Schwarzen Loches



Größenverhältnisse

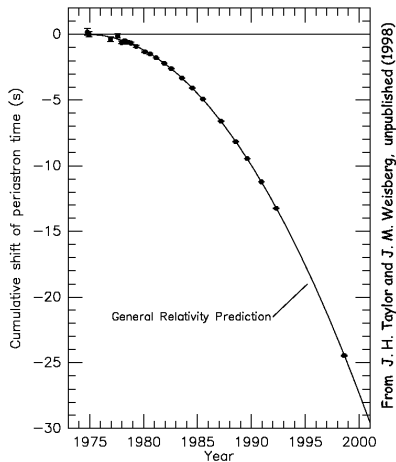


Größenverhältnisse



- $4M_{\odot} + 4M_{\odot}$
 $= 10^6 M_{\text{Erde}} + 10^6 M_{\text{Erde}}$
- $d = 170\text{km}$
- $f = 70\text{Hz}$
- $v = 30\,000\text{km/s}$
- $t = 0.2\text{s}$
- ~ 15 Umläufe bis Verschmelzung

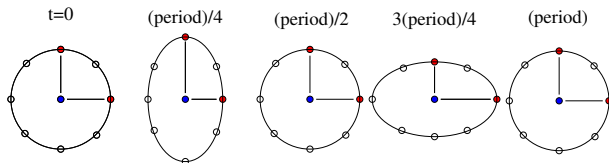
Indirekter Nachweis von GW



Doppel-Neutronenstern PSR 1913+16 (Hulse & Taylor, Nobelpreis 1993)

Messung von Gravitationswellen

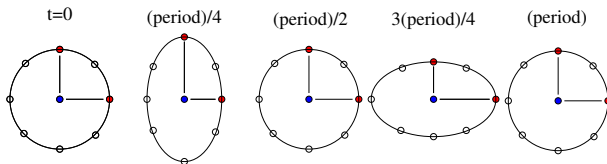
- Eine GW ändert die Abstände zwischen benachbarten Testmassen .



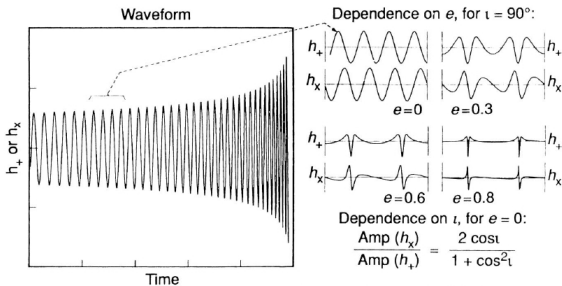
- Signal ist relative Längenänderung $h(t) \equiv \Delta L(t)/L$.

Messung von Gravitationswellen

- Eine GW ändert die Abstände zwischen benachbarten Testmassen .



- Signal ist relative Längenänderung $h(t) \equiv \Delta L(t)/L$.



Abramovici et al, 2002

Gegenwärtiges Ziel der Gravitationsphysik:

Direkte Messung von Gravitationswellen

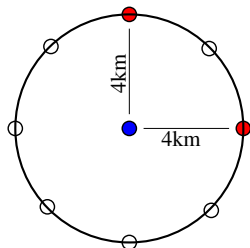
- Stimmt die ART? Hatte Einstein Recht?
- Völlig neues Beobachtungsfenster ins Universum
 - ▶ Binäre Schwarze Löcher nur durch GW sichtbar
 - ▶ Neutronensterne
 - ▶ Supernovae
 - ▶ Völlig neue Objekte (vgl. Radiowellen, Röntstrahlen, ...)
- Schwierigkeit...

Gegenwärtiges Ziel der Gravitationsphysik:

Direkte Messung von Gravitationswellen

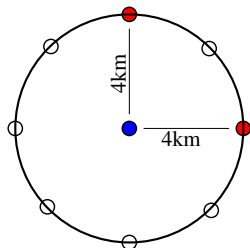
- Stimmt die ART? Hatte Einstein Recht?
- Völlig neues Beobachtungsfenster ins Universum
 - ▶ Binäre Schwarze Löcher nur durch GW sichtbar
 - ▶ Neutronensterne
 - ▶ Supernovae
 - ▶ Völlig neue Objekte (vgl. Radiowellen, Röntstrahlen, ...)
- Schwierigkeit... $h \sim 10^{-21}$, $\Delta L \sim 0.01 R_{\text{Proton}}$

Suche nach Gravitationswellen



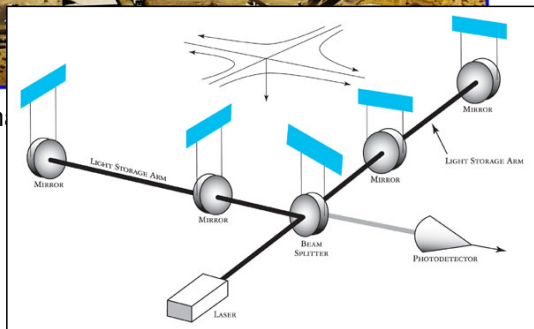
Laser Interferometer Gravitational Wave Observatory (LIGO, USA)

Suche nach Gravitationswellen



Laser Interferometer Gravitation

- Michelson Interferometer
- Fabry-Perot Konfiguration



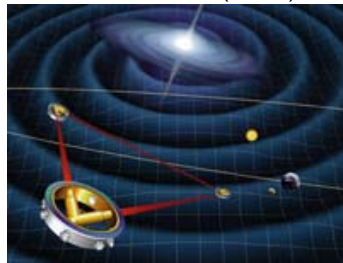
LIGO Strahl-Teiler



GW Detektoren

LISA NASA+ESA (201?)

LIGO, USA (2x)



GEO 600, Hannover



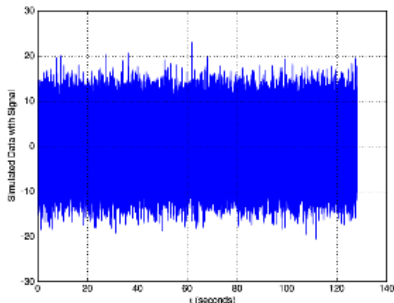
VIRGO, Pisa



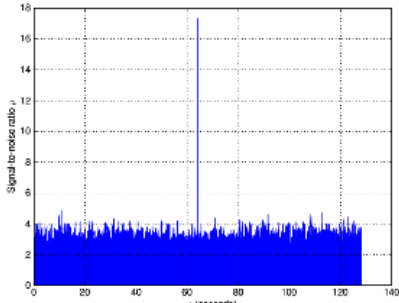
Cross-correlation

- Detektor misst $s(t) = h_{\text{GW}}(t) + n(t)$
- “Cross-correlation” gegen erwartetes Signal $h(t; M_1, M_2, t_0, \dots)$.

$$\rho = \int s(t)h(t)dt = \underbrace{\int n(t)h(t)dt}_{\approx 0} + \underbrace{\int h_{\text{GW}}(t)h(t)dt}_{>0. \text{ falls } h \approx h_{\text{GW}}}$$



$s(t)$ (simuliert)



Signal-to-Noise ρ vs. t_0

- Die erwarteten Wellenformen $h(t; M_1, M_2, t_0, \dots)$ müssen bekannt sein!
- Phasengenauigkeit von $h(t; \dots)$ besonders wichtig!

Methoden zur Berechnung der Wellenform

- **Einspiralen**

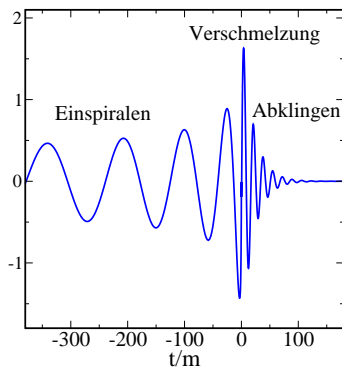
- $v \ll c$: Entwicklung in v/c
(post-Newtonsche Näherung)
- v/c groß: Numerische Simulationen

- **Verschmelzung**

- Numerische Simulationen

- **Abklingen**

- Störungsrechnung Schwarzer Löcher
- Numerische Simulationen



Methoden zur Berechnung der Wellenform

- **Einspiralen**

- $v \ll c$: Entwicklung in v/c
(post-Newtonsche Näherung)
- v/c groß: Numerische Simulationen

- **Verschmelzung**

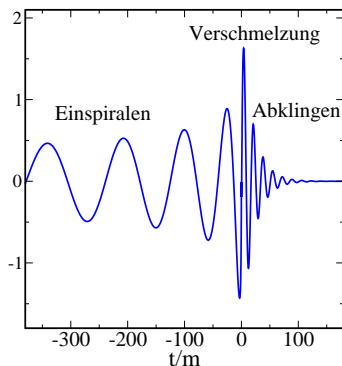
- Numerische Simulationen

- **Abklingen**

- Störungsrechnung Schwarzer Löcher
- Numerische Simulationen

- **Aufgaben der Numerik:**

- Simulation der letzten N Umläufe und der Verschmelzung.
- Bestimmung von N .

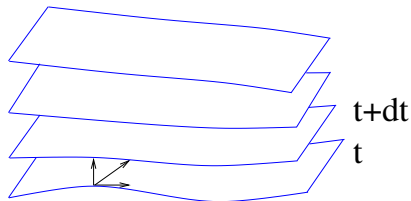


Simulation der Feldgleichungen – Grundidee

- Aufgabe: Finde Raumzeit-Metrik g_{ab} , so daß $R_{ab}[g_{ab}] = 0$

Simulation der Feldgleichungen – Grundidee

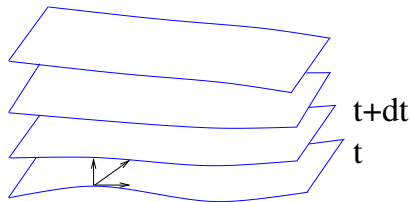
- Aufgabe: Finde Raumzeit-Metrik g_{ab} , so daß $R_{ab}[g_{ab}] = 0$
- Spalte Raumzeit in Zeit und Raum



Simulation der Feldgleichungen – Grundidee

- Aufgabe: Finde Raumzeit-Metrik g_{ab} , so daß $R_{ab}[g_{ab}] = 0$

- Spalte Raumzeit in
Zeit und Raum



- **Evolutions Gleichungen**

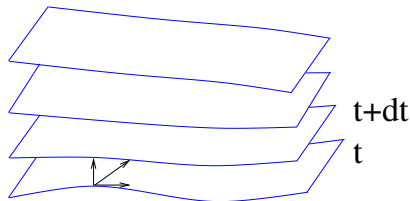
$$\partial_t g_{ij} = \dots$$

$$\partial_t K_{ij} = \dots$$

Simulation der Feldgleichungen – Grundidee

- Aufgabe: Finde Raumzeit-Metrik g_{ab} , so daß $R_{ab}[g_{ab}] = 0$

- Spalte Raumzeit in Zeit und Raum



- **Evolutions Gleichungen**

$$\partial_t g_{ij} = \dots$$

$$\partial_t K_{ij} = \dots$$

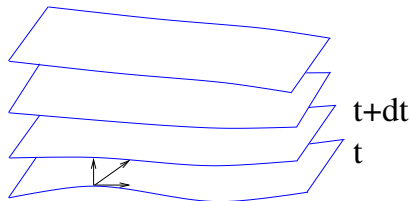
- **Zwangsbedingungen**

$$R[g_{ij}] + K^2 - K_{ij}K^{ij} = 0$$

$$\nabla_j (K^{ij} - g^{ij}K) = 0$$

Simulation der Feldgleichungen – Grundidee

- Aufgabe: Finde Raumzeit-Metrik g_{ab} , so daß $R_{ab}[g_{ab}] = 0$
- Spalte Raumzeit in Zeit und Raum



- **Evolutions Gleichungen**

$$\partial_t g_{ij} = \dots$$

$$\partial_t K_{ij} = \dots$$

vgl. Maxwell Gleichungen

$$\partial_t \vec{E} = \nabla \times \vec{B}$$

$$\partial_t \vec{B} = -\nabla \times \vec{E}$$

$$\nabla \cdot \vec{E} = 0$$

$$\nabla \cdot \vec{B} = 0$$

- **Zwangsbedingungen**

$$R[g_{ij}] + K^2 - K_{ij}K^{ij} = 0$$

$$\nabla_j (K^{ij} - g^{ij}K) = 0$$

Geschichte

- 1964: Kollisionen von Wurmlöchern (Hahn & Lindquist)
- 1970er: Axisymmetrische Simulationen (Smarr & Eppley)
- 1994-99: NSF Binary black hole grand challenge

Geschichte

- 1964: Kollisionen von Wurmlöchern (Hahn & Lindquist)
- 1970er: Axisymmetrische Simulationen (Smarr & Eppley)
- 1994-99: NSF Binary black hole grand challenge
- Seit Ende der 90'er Jahre: **Fundamente**
 - ▶ Sorgfältige Verbesserungen vieler Komponenten

Geschichte

- 1964: Kollisionen von Wurmlöchern (Hahn & Lindquist)
- 1970er: Axisymmetrische Simulationen (Smarr & Eppley)
- 1994-99: NSF Binary black hole grand challenge
- Seit Ende der 90'er Jahre: **Fundamente**
 - ▶ Sorgfältige Verbesserungen vieler Komponenten
- 2005: **Erfolg mit zwei völlig verschiedenen Methoden**

Was ist so schwer?

- **Singularitäten** im Inneren der Schwarzen Löcher.
- **Zwangsbedingungen** $Z \equiv 0$
 - Für viele Jahre, $\partial_t Z \sim Z \Rightarrow Z \sim e^t$
- **Koordinatenfreiheit**
Wie wählt man Koordinaten für eine Raumzeit die man erst noch berechnen will?
- Hohe **numerische Anforderungen**
 - 20 – 50 Variable
 - Komplizierte Gleichungen ($\gtrsim 1000$ FLOPS pro Gitterpunkt)
 - Verschiedene Längenskalen
 - Hohe Genauigkeit, lange Laufzeiten nötig

Kontrolle der Zwangsbedingungen

- Feldgleichungen:

$$0 = R_{ab}[g_{ab}] = -\frac{1}{2}\square g_{ab} + \nabla_{(a}\Gamma_{b)} + \text{niedrigere Ordnung} \quad \Gamma_a = -g_{ab}\square x^b.$$

Kontrolle der Zwangsbedingungen

- Feldgleichungen:

$$0 = R_{ab}[g_{ab}] = -\frac{1}{2}\square g_{ab} + \nabla_{(a}\Gamma_{b)} + \text{niedrigere Ordnung} \quad \Gamma_a = -g_{ab}\square x^b.$$

- Harmonische Koordinaten $\square x^a = 0$:

$$\square g_{ab} = \text{niedrigere Ordnung}$$

Kontrolle der Zwangsbedingungen

- Feldgleichungen:

$$0 = R_{ab}[g_{ab}] = -\frac{1}{2}\square g_{ab} + \nabla_{(a}\Gamma_{b)} + \text{niedrigere Ordnung} \quad \Gamma_a = -g_{ab}\square x^b.$$

- Harmonische Koordinaten $\square x^a = 0$:

$$\square g_{ab} = \text{niedrigere Ordnung}$$

- Verallgemeinerte harmonische Koordinaten $g_{ab}\square x^b \equiv H_a$
(Friedrich 1985, Pretorius 2005)

Kontrolle der Zwangsbedingungen

- Feldgleichungen:

$$0 = R_{ab}[g_{ab}] = -\frac{1}{2}\square g_{ab} + \nabla_{(a}\Gamma_{b)} + \text{niedrigere Ordnung} \quad \Gamma_a = -g_{ab}\square x^b.$$

- Harmonische Koordinaten $\square x^a = 0$:

$$\square g_{ab} = \text{niedrigere Ordnung}$$

- Verallgemeinerte harmonische Koordinaten $g_{ab}\square x^b \equiv H_a$
(Friedrich 1985, Pretorius 2005)

- Neue Zwangsbedingung $Z_a \equiv H_a - g_{ab}\square x^b = 0$.

Kontrolle der Zwangsbedingungen

- Feldgleichungen:

$$0 = R_{ab}[g_{ab}] = -\frac{1}{2}\square g_{ab} + \nabla_{(a}\Gamma_{b)} + \text{niedrigere Ordnung} \quad \Gamma_a = -g_{ab}\square x^b.$$

- Harmonische Koordinaten $\square x^a = 0$:

$$\square g_{ab} = \text{niedrigere Ordnung}$$

- Verallgemeinerte harmonische Koordinaten $g_{ab}\square x^b \equiv H_a$
(Friedrich 1985, Pretorius 2005)

- Neue Zwangsbedingung $Z_a \equiv H_a - g_{ab}\square x^b = 0$.
Kontrolle der Zwangsbedingungen (Gundlach, et al., Pretorius, 2005)

$$0 = -\frac{1}{2}\square g_{ab} + \nabla_{(a}Z_{b)} + \gamma \left[t_{(a}Z_{b)} - \frac{1}{2}g_{ab}t^c Z_c \right] + \text{n. O.}$$

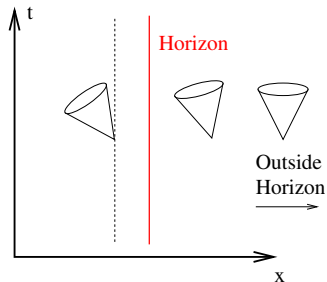
$$\partial_t Z_a \sim -\gamma Z_a, \Rightarrow Z \sim e^{-\lambda t}$$

Behandlung der Singularität – “Black hole excision”

- **Idee:** Was innerhalb des Ereignishorizontes geschieht, kann die Außenwelt nicht beeinflussen – Warum nicht einfach das Innere weglassen? (Unruh, Anfang der 1980'er)

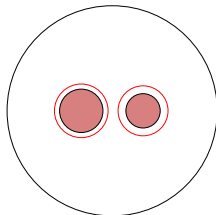
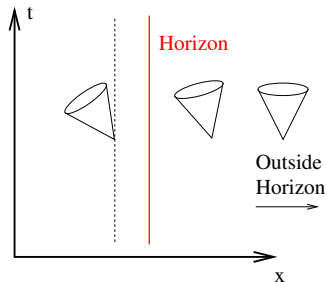
Behandlung der Singularität – “Black hole excision”

- **Idee:** Was innerhalb des Ereignishorizontes geschieht, kann die Außenwelt nicht beeinflussen – Warum nicht einfach das Innere weglassen? (Unruh, Anfang der 1980'er)
- Entferne Kugel innerhalb des Schwarzen Loches.
- **Keine Randbedingung nötig!**



Behandlung der Singularität – “Black hole excision”

- **Idee:** Was innerhalb des Ereignishorizontes geschieht, kann die Außenwelt nicht beeinflussen – Warum nicht einfach das Innere weglassen? (Unruh, Anfang der 1980'er)
- Entferne Kugel innerhalb des Schwarzen Loches.
- **Keine Randbedingung nötig!**



Numerik: Spektrale Methoden

- $u(t, \vec{x})$ Vektor der 50 Variablen
- Approximation der Lösung mit einer **endlichen Serie**

$$u(x, t) \approx u^{(N)}(x, t) \equiv \sum_{k=0}^{N-1} \tilde{u}_k(t) \Phi_k(x),$$

Φ_k Fourier-Reihe, Tschebyshev-Polynome, Kugelflächen-Funktionen.

Numerik: Spektrale Methoden

- $u(t, \vec{x})$ Vektor der 50 Variablen
- Approximation der Lösung mit einer **endlichen Serie**

$$u(x, t) \approx u^{(N)}(x, t) \equiv \sum_{k=0}^{N-1} \tilde{u}_k(t) \Phi_k(x),$$

Φ_k Fourier-Reihe, Tschebyshev-Polynome, Kugelflächen-Funktionen.

- Ableitungen sind **analytisch bekannt**

$$\frac{du^{(N)}(x)}{dx} = \sum_{k=0}^{N-1} \tilde{u}_k \frac{d\phi_k(x)}{dx}.$$

Numerik: Spektrale Methoden

- $u(t, \vec{x})$ Vektor der 50 Variablen
- Approximation der Lösung mit einer **endlichen Serie**

$$u(x, t) \approx u^{(N)}(x, t) \equiv \sum_{k=0}^{N-1} \tilde{u}_k(t) \Phi_k(x),$$

Φ_k Fourier-Reihe, Tschebyshev-Polynome, Kugelflächen-Funktionen.

- Ableitungen sind **analytisch bekannt**

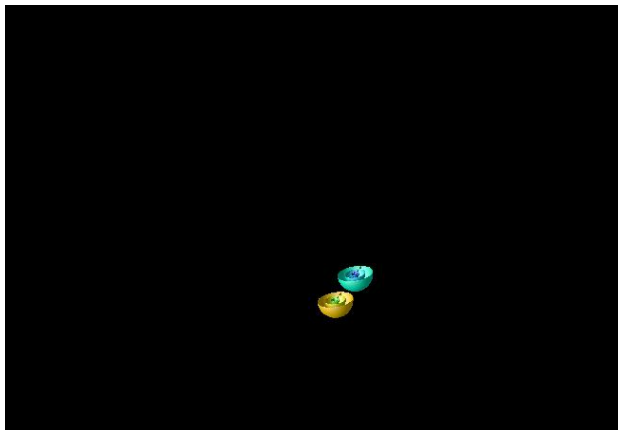
$$\frac{du^{(N)}(x)}{dx} = \sum_{k=0}^{N-1} \tilde{u}_k \frac{d\phi_k(x)}{dx}.$$

- Zeitentwicklung von $\tilde{u}_k(t)$ mit “method of lines”

$$\partial_t \tilde{u}_k = \left[F - A(u) \cdot \nabla u \right]_k.$$

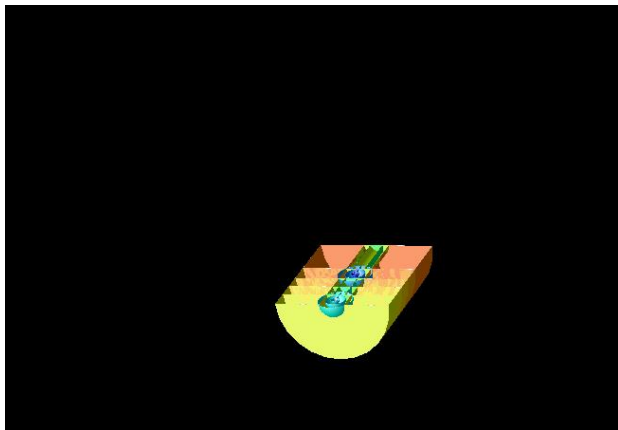
Domain-decomposition

- Basisfunktionen benötigen “einfachen” Gebiete: Quader, Kugel, Zylinder
-



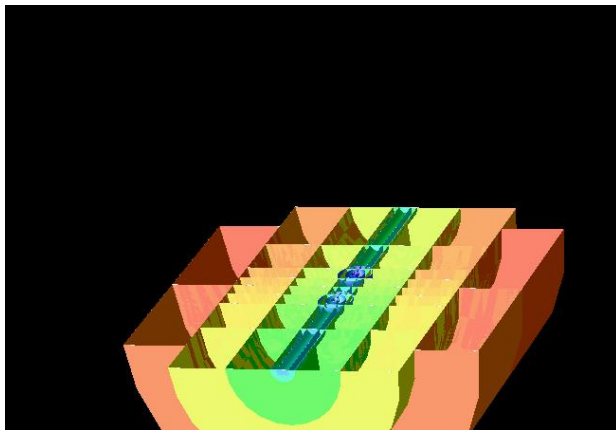
Domain-decomposition

- Basisfunktionen benötigen “einfachen” Gebiete: Quader, Kugel, Zylinder
-



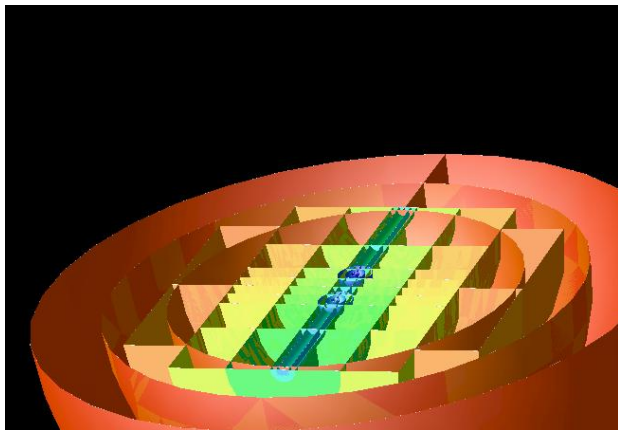
Domain-decomposition

- Basisfunktionen benötigen “einfachen” Gebiete: Quader, Kugel, Zylinder
-



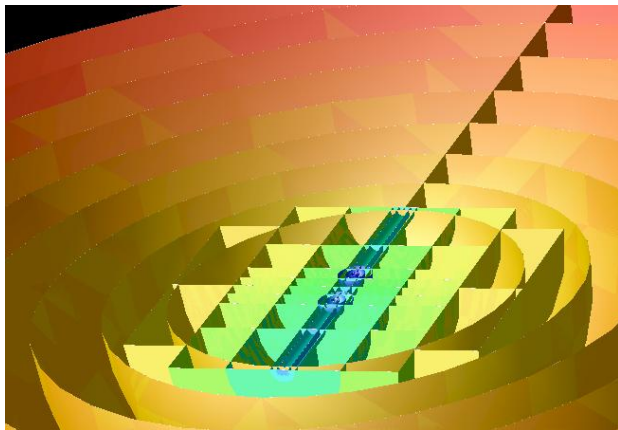
Domain-decomposition

- Basisfunktionen benötigen “einfachen” Gebiete: Quader, Kugel, Zylinder
-



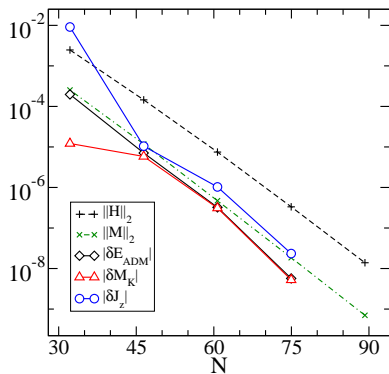
Domain-decomposition

- Basisfunktionen benötigen “einfachen” Gebiete: Quader, Kugel, Zylinder
-

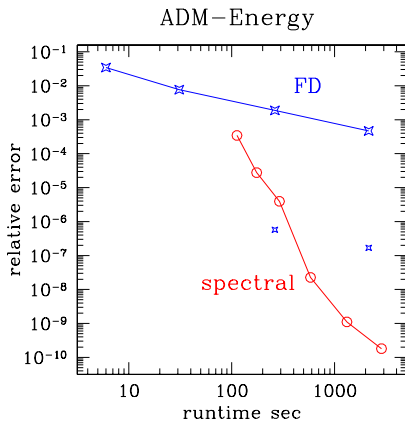


Warum Spektrale Methoden?

Glatte Lösungen \Rightarrow Exponentielle Konvergenz

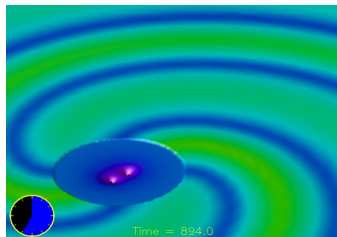


Cook, HP 2004



HP et al. 2003

Einige Details



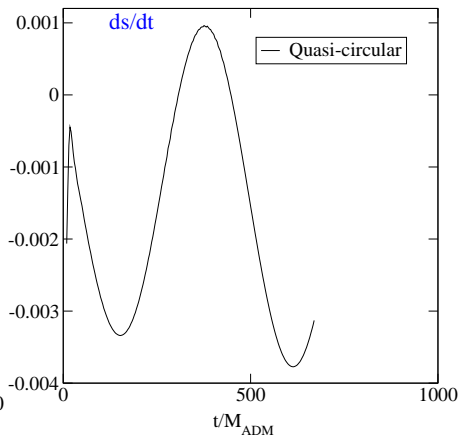
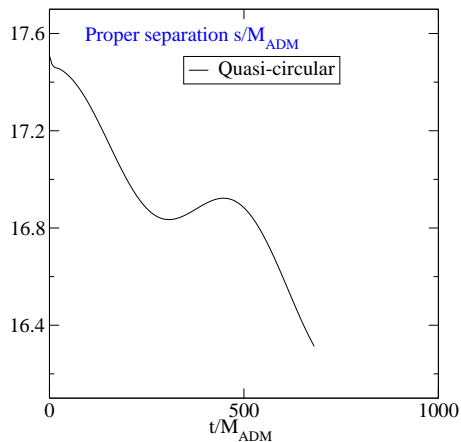
- C++, 250 000 Zeilen.
- Cluster 500 Prozessoren,
30 TB Festplattenkapazität.
- Eine Simulation 10 000 CPU-h
- Caltech/Cornell: Knapp 20 Personen.



Verbesserte Anfangsdaten durch Evolutionen

HP et al., 2007

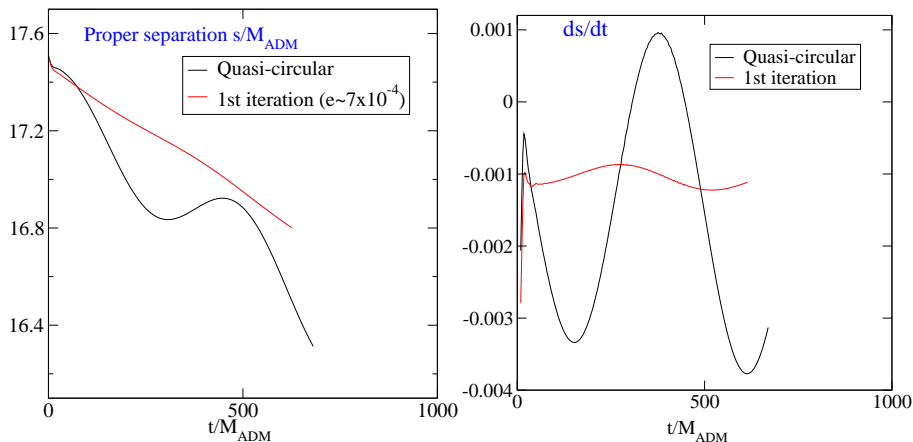
- Wähle radiale Geschwindigkeit um Exzentrizität des Orbits zu minimieren.



Verbesserte Anfangsdaten durch Evolutionen

HP et al., 2007

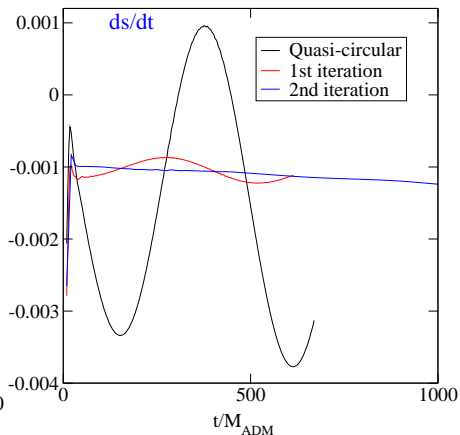
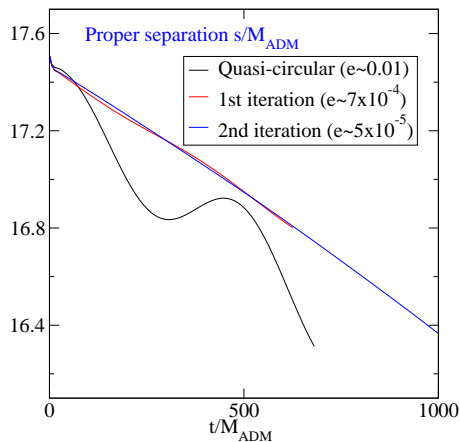
- Wähle radiale Geschwindigkeit um Exzentrizität des Orbits zu minimieren.



Verbesserte Anfangsdaten durch Evolutionen

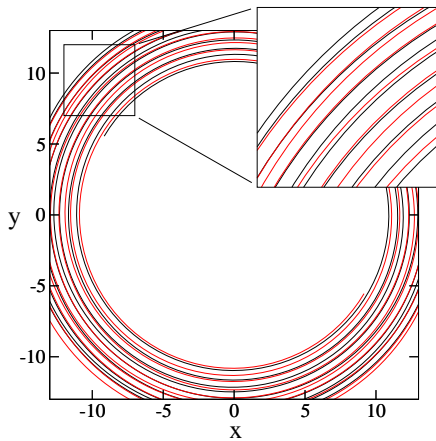
HP et al., 2007

- Wähle radiale Geschwindigkeit um Exzentrizität des Orbits zu minimieren.



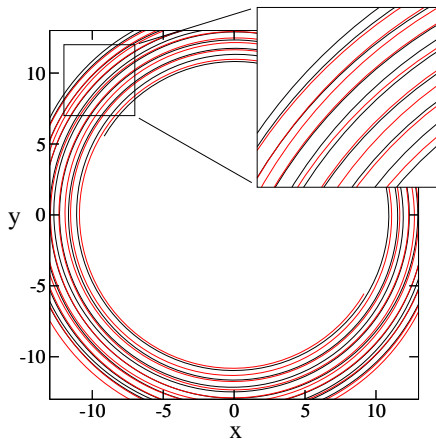
Trajektorien der Schwerpunkte

$$v_r = 0$$

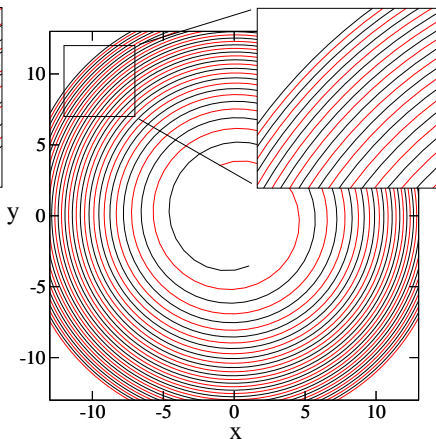


Trajektorien der Schwerpunkte

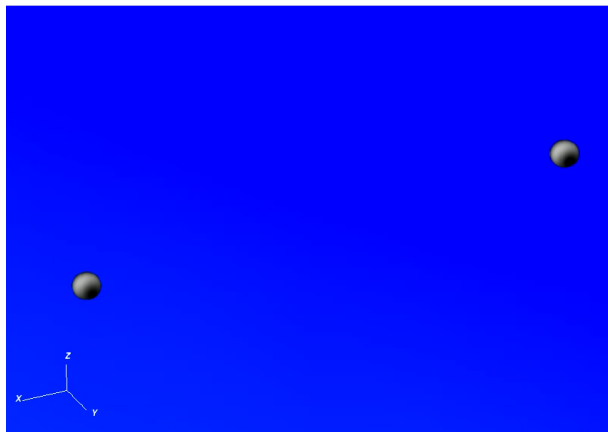
$$v_r = 0$$



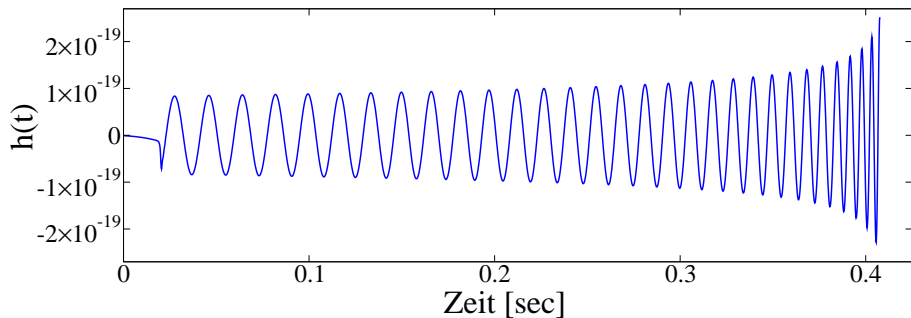
Exzentrizität minimiert



Movie

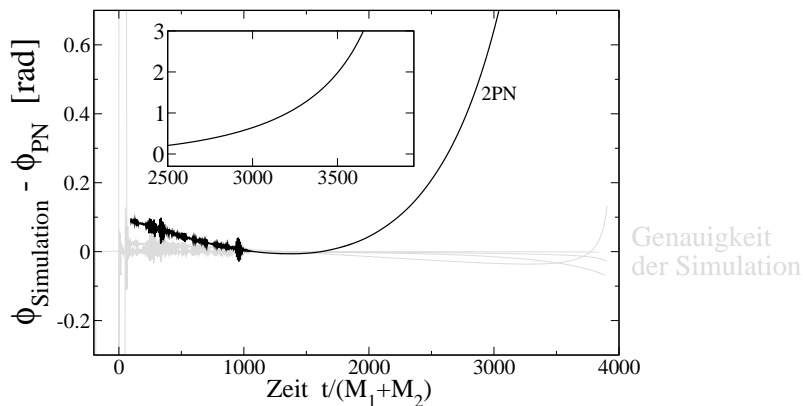


Numerische Wellenform



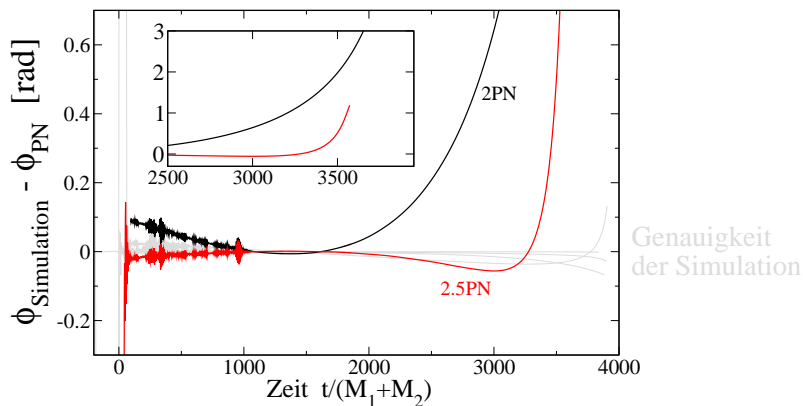
- $(10 + 10)M_{\odot}$ in einer Entfernung von $1 \text{ Mpc} \approx 3\,000\,000$ Lichtjahre

Vergleich mit Post-Newton'scher Näherung



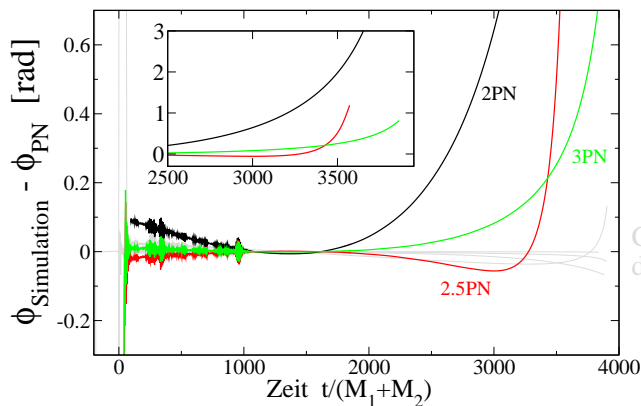
- Nur 1-PN Effekte im Sonnensystem getestet.

Vergleich mit Post-Newton'scher Näherung



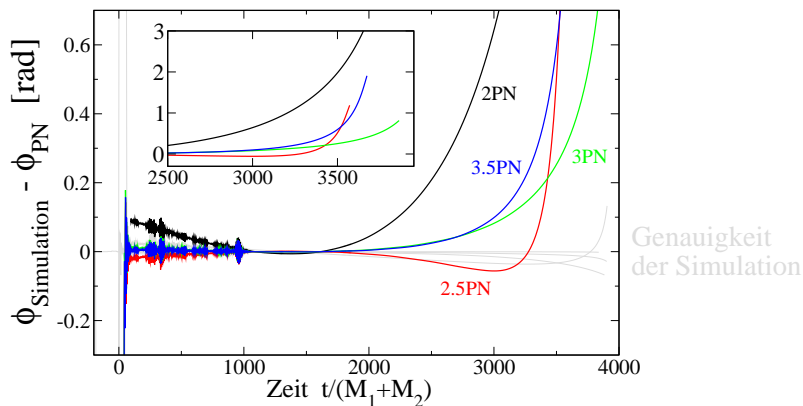
- Nur 1-PN Effekte im Sonnensystem getestet.

Vergleich mit Post-Newton'scher Näherung



- Nur 1-PN Effekte im Sonnensystem getestet.
- **Exzellente Übereinstimmung** für $t \lesssim 2000$ (5 Umläufe)
– Wichtiger Test der Numerischen Rechnung!!
- **Messbare Unterschiede** in letzten 10 Umläufen.

Vergleich mit Post-Newton'scher Näherung



- Nur 1-PN Effekte im Sonnensystem getestet.
- **Exzellente Übereinstimmung** für $t \lesssim 2000$ (5 Umläufe)
– Wichtiger Test der Numerischen Rechnung!!
- **Messbare Unterschiede** in letzten 10 Umläufen.

Was macht die Konkurrenz?

- **Aktive Gruppen:**

- | | |
|---|--------------------|
| ▶ Caltech (CA, USA) – Cornell (NY, USA) | Spektrale Methoden |
| ▶ Universität Jena | FD |
| ▶ Albert-Einstein-Institut (Potsdam) – Louisiana State Univ (LA, USA) | FD |
| ▶ Goddard Space Flight Center (MD, USA) | FD |
| ▶ Penn State University (PA, USA) | FD |
| ▶ Rochester University (NY, USA) | FD |

Was macht die Konkurrenz?

- **Aktive Gruppen:**

- ▶ Caltech (CA, USA) – Cornell (NY, USA) Spektrale Methoden
- ▶ Universität Jena FD
- ▶ Albert-Einstein-Institut (Potsdam) – Louisiana State Univ (LA, USA) FD
- ▶ Goddard Space Flight Center (MD, USA) FD
- ▶ Penn State University (PA, USA) FD
- ▶ Rochester University (NY, USA) FD

- **Spektrale Methoden...**

- ▶ Hohe Genauigkeit während **vieler Umläufe**
- ▶ Verschmelzung bislang nur für Frontal-Kollision gelungen

Was macht die Konkurrenz?

● Aktive Gruppen:

- | | |
|---|--------------------|
| ▶ Caltech (CA, USA) – Cornell (NY, USA) | Spektrale Methoden |
| ▶ Universität Jena | FD |
| ▶ Albert-Einstein-Institut (Potsdam) – Louisiana State Univ (LA, USA) | FD |
| ▶ Goddard Space Flight Center (MD, USA) | FD |
| ▶ Penn State University (PA, USA) | FD |
| ▶ Rochester University (NY, USA) | FD |

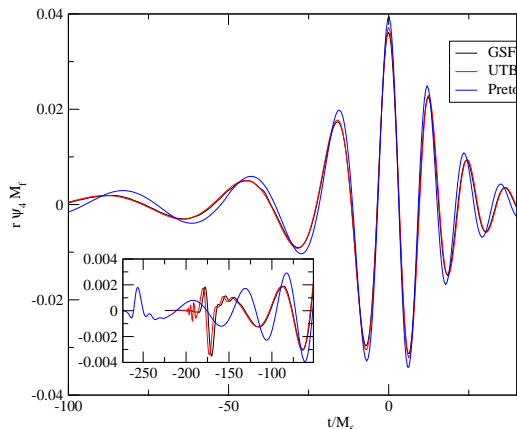
● Spektrale Methoden...

- ▶ Hohe Genauigkeit während **vieler Umläufe**
- ▶ Verschmelzung bislang nur für Frontal-Kollision gelungen

● Finite Differenzen ...

- ▶ Adaptive Mesh Refinement, 4te Ordnung
- ▶ Dennoch Genauigkeit **zu gering für viele Umläufe**
- ▶ **Verschmelzung Routine** dank anderer Koordinaten-Bedingungen

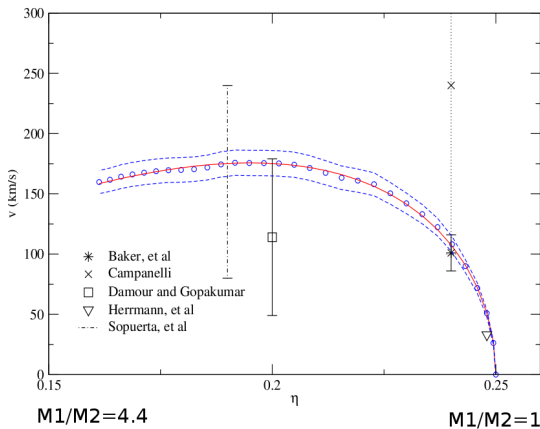
Code-Vergleich: Verschmelzung schwarzer Löcher



- Wellenform von drei verschiedenen Codes
(Baker, Campanelli, Pretorius, Zlochower, 2007)

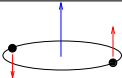
“Black hole kicks” (nicht-rotierend)

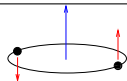
- **Asymmetrische** Konfiguration
⇒ **asymmetrische** GW
⇒ **Impulsübertrag** auf verbleibendes Schwarzes Loch
- Plot von gr-qc/0610154, Jena Gruppe (30.Okt. 2006)



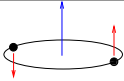
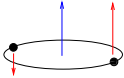
(Gonzalez, et al, 2007)

“Black hole kicks” (rotierende Löcher)

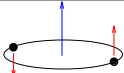
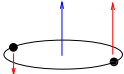
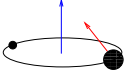
Datum	gr-qc/	Gruppe	v (km/s)	
26. Jan	0701143	Penn State	400	



“Black hole kicks” (rotierende Löcher)

Datum	gr-qc/	Gruppe	v (km/s)	
26. Jan	0701143	Penn State	400	
29. Jan	0701163	AEI/LSU	257	

“Black hole kicks” (rotierende Löcher)

Datum	gr-qc/	Gruppe	v (km/s)	
26. Jan	0701143	Penn State	400	
29. Jan	0701163	AEI/LSU	257	
29. Jan	0701164v1	Rochester	454	

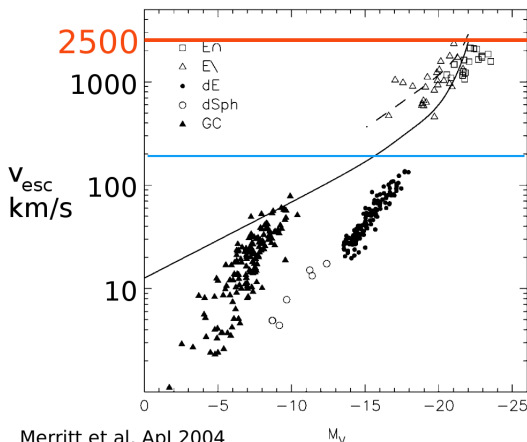
“Black hole kicks” (rotierende Löcher)

Datum	gr-qc/	Gruppe	v (km/s)	
26. Jan	0701143	Penn State	400	
29. Jan	0701163	AEI/LSU	257	
29. Jan	0701164v1	Rochester	454	
8. Feb	0702052	Jena	2500	

“Black hole kicks” (rotierende Löcher)

Datum	gr-qc/	Gruppe	v (km/s)	
26. Jan	0701143	Penn State	400	
29. Jan	0701163	AEI/LSU	257	
29. Jan	0701164v1	Rochester	454	
8. Feb	0702052	Jena	2500	
22. Feb	0701164v2	Rochester	1830	

Fluchtgeschwindigkeit verschiedener Galaxien



$$\max(v_{\text{kick}}) > v_{\text{Flucht}}$$

Warum gibt es Schwarze Löcher in Galaxien-Zentren??

Zusammenfassung

- Gravitationsphysik ist in Blütezeit.
- Detektion von Gravitationswellen heute möglich, in 5 Jahren wahrscheinlich (verbesserte Detektoren).
- Numerische Simulationen sind erwachsen geworden.

